

논문 22-3-5

FBG 센서를 활용한 온도와 스트레인 변화 모니터링

Monitoring of Temperature and Strain Variation with FBG Sensors

고기한¹, 박영², 조용현², 정호성², 조용석³, 최원석^{1,a)}
(Ki-Han Ko¹, Young Park², Yong Hyeon Cho², Hosung Jung², Yong Suk Cho³, and Won Seok Choi^{1,a)}

Abstract

This paper reports on measurement method for the fiber optic strain monitoring of overhead contact line systems of trains. We used FBG (Fiber Bragg Grating) sensors to measure the strain variation of overhead contact line. FBG sensors can sensitively measure the variation of strain and/or temperature by the shift wavelength of reflected wave according to the lattice variation during the measurement. FBG sensor were attached on the contact line and connected to the monitoring system with optical fibers. The monitoring system with FBG sensors showed very good sensitivity to measuring strain variation and this system could be applied to the overhead contact line of KTX (Korea Train eXpress).

Key Words : FBG (Fiber bragg grating), Contact line, Strain, Sensor, Monitoring

1. 서 론

고속철도를 비롯한 현대의 철도는 전기철도가 주류이며, 현재 국내 철도는 고속철도 개통과 더불어 본격적인 전기철도 시대가 도래되고 정부 계획에 따라 전철화구간이 2006년에 약 50 %의 전철화율을 2020년에 92 %까지 끌어올린다는 계획을 가지고 있다[1,2]. 전기철도에 있어서 전차선로의 유지보수를 위한 검측 시스템 개발은 유지보수를 위한 지속적인 구축과 고속철도의 단계별 계통 후 전차선 검측 자료의 체계화, 과학화 및 자료 구축을 위해 절실히 요구된다. 또한 집전성능 향상과 속도향상의 시현을 위하여 체계적이고 과학적인 전차선로 검측 시스템이 시급히 필요하다. 특히 전차선로 유지 보수를 위한 전차선의 마모, 높이, 편위 등의 전차선로 검측은 안정적인 전기철도를 위

한 필수조건이며 전차선로 검측항목별 적합성과 측정방법을 일원화하여 검측장비를 개발하고, 특이 개소 및 기술수요처의 요구사항에 적합한 시스템이 절실히다[3-6]. 그러나 국내 전차선로 검측의 경우 특이구간 및 전차선의 선종에 따라 측정 시스템을 적용하기가 어렵고 실용적인 유지보수를 위해 시스템개발이 요구되어지고 있다[7].

FBG (Fiber Bragg Grating) 센서는 스트레인 변화 (또는 온도)를 민감하게 측정할 수 있는 센서로 측정 시 광섬유의 격자변화에 따른 반사파의 파장변화로 스트레인의 변화 정도를 측정할 수 있다[8]. FBG 센서가 가지는 장점인 높은 민감도로 인해 교량, 고층건물, 터널, 송유관 등의 설비의 변형을 감시하는데 활용되고 있으며, 항공기의 날개, 배의 선체, 기차선로 등의 변형을 측정하는 목적으로도 활용되고 있다. FBG 센서는 측정된 결과를 모니터링 하는 장치에 연결하기 위해 광섬유를 사용하며 이로 인해 측정대상으로부터 장거리 측정이 가능하다는 장점을 가진다. 현재 전기철도는 가공 전차선과 팬터그래프의 직접 접촉을 통한 전원 공급방식을 사용하고 있으며, 고속철 운행에 따른 열차속도의 증가로 운행의 안정성 확보를 위해 전차선로의 실시간 검측이 요구된다. 전차선로에 발

1. 한밭대학교 전기공학과

(대전시 유성구 덕명동 16-1)

2. 한국철도기술연구원 집전전력연구실

3. 건양대학교 전자정보공학과

a. Corresponding Author : wschoi@hanbat.ac.kr

접수일자 : 2008. 11. 24

1차 심사 : 2009. 2. 4

심사완료 : 2009. 2. 16

생활 수 있는 오동작 또는 사고는 FBG 온도, 스트레인 센서와 같은 스마트센서를 활용하여 전차선 또는 조가선을 넓은 범위에서 민감하게 검출이 가능하다. 따라서 본 연구에서는 FBG 센서를 가공 전차선에 활용하기 위한 사전실험으로 모형의 전차선 환경 속에 발생되는 스트레인 변화와 온도변화를 FBG 센서를 활용하여 실시간 측정하였다.

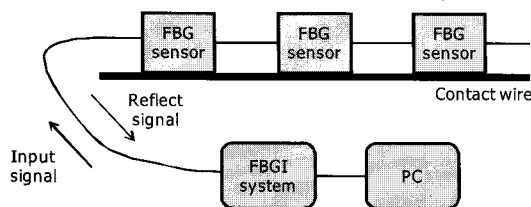


그림 1. FBG 센서를 활용한 전차선 모니터링 시스템의 개략도.

Fig. 1. Schematic of overhead contact line monitoring system with FBG sensor.

2. 실험

그림 1에 FBG 센서를 활용한 전차선 모니터링 시스템의 개략도를 나타내었다. FBG 센서는 측정이 요구되는 전차선에 직렬 또는 병렬로 애플리케이션을 이용해 직접 부착할 수 있으며 이를 통해 팬터그래프와 전차선의 접촉으로 발생하는 스트레인과 온도의 변화를 측정할 수 있다. 전차선 윗부분에 FBG 센서들을 설치하고 센서부로 레이저를 전송하고 반사된 파장을 측정하는 FBGI (Fiber bragg grating interrogation; Fiberpro co., IS7000) 시스템을 센서부에 연결하여 측정된 결과를 PC로 모니터링 할 수 있다. FBG 센서들은 각각 고유의 grating 파장대를 가지고 있기에 외부 환경의 영향으로 발생하는 스트레인과 온도의 변화에 따라 각각의 센서를 통해 수집된 정보를 FBGI 시스템을 사용 PC를 통해 실시간 모니터링이 가능하다. FBG 센서를 전차선에 부착하고 모형 팬터그래프가 가공 전차선에 강하게 접촉할 때마다 발생하는 스트레인의 변화 모니터링 시스템과 전차선을 가열하여 모형 전차선의 온도변화는 가열시와 냉각시에 발생하는 스트레인의 변화 모니터링 시스템의 실험을 통해서 스트레인과 온도변화를 관찰한다.

3. 결과 및 고찰

FBG 센서는 보통 1550 nm 근처의 파장(λ) 값을 가지며 grating 되어 있으며 그 값은 센서마다 조금씩 다르다. 이렇게 grating 되어있는 센서의 특징으로 그림 2에 정리된 것처럼 레이저에 의해 입사된 파는 FBG 센서를 통과시 센서에 grating 된 파장의 값이 반사된다. 이러한 반사파는 그림 3에 정리된 것처럼 전차선에 가해진 스트레인과 온도에 의해 격자간격이 바뀌며 반사파의 파장의 변화($\Delta\lambda$)가 발생한다. 이러한 반사파의 변화를 측정하여 전차선에 가해진 스트레인($\Delta\epsilon$) 또는 온도(ΔT)를 식 (1)과 (2)를 사용하여 계산할 수 있다[9].

$$\Delta T = \frac{1}{(\alpha + \zeta)} \frac{\Delta\lambda_B}{\lambda_B} \quad (1)$$

$$\Delta\epsilon = \frac{1}{(1 - P_e)} \frac{\Delta\lambda_B}{\lambda_B} \quad (2)$$

여기에서 P_e 는 광섬유의 광탄성계수 (photoelastic constant), α 는 확장 선형계수 (linear coefficient of expansion), ζ 는 열광계수 (thermo-optical coefficient)이다.

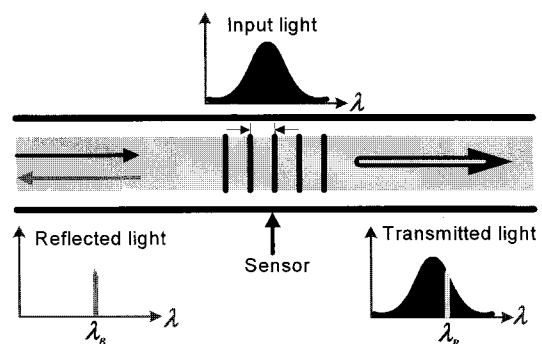


그림 2. 입사광에 따른 FBG 센서의 반사파와 투과파.

Fig. 2. Reflected light and transmitted light of FBG according to the input light.

그림 1과 같이 구성된 FBG 센서를 활용한 전차선 모니터링 시스템을 모형 전차선에 설치하여 스트레인과 온도변화에 따른 FBG 센서의 동작을 확

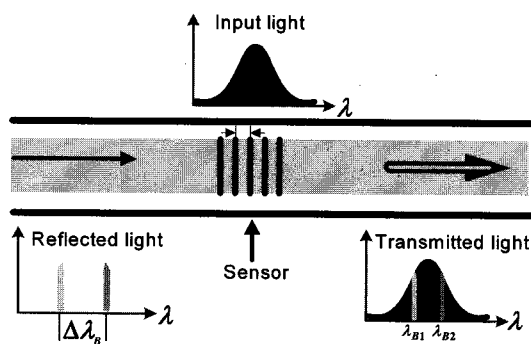


그림 3. 격자간격의 변화에 따른 FBG 센서의 동작원리.

Fig. 3. Operating principle of FBG sensor according to the variation of lattice gap.

인하였다. 가공 전차선 재질의 전선의 상단에 FBG 센서를 설치하고 광섬유를 이용 FBGI 시스템에 연결하여 PC를 사용하여 모니터링 하였다. 이러한 시스템을 활용하여 모형 팬터그래프가 가공 전차선에 강하게 접촉할 때마다 발생하는 스트레인의 변화를 모니터링 시스템을 통해 정확하게 관찰할 수 있었다. FBG 센서는 기본 파장값인 1554.89 nm의 값을 가지다가 팬터그래프가 모형 전차선을 스쳐 지날 때마다 스트레인이 변화하는 것을 그림 4에서 확인할 수 있다.

가공 전차선의 온도변화를 측정하기 위하여 전차선을 2분간 가열하였다. 적외선 검온계(Fluke

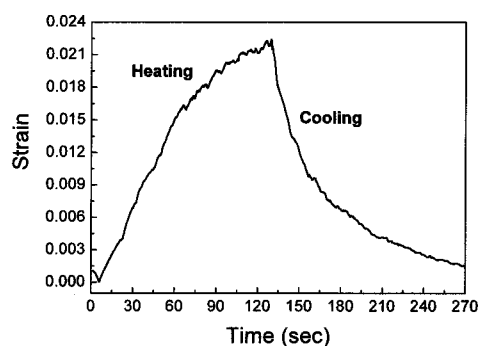


그림 5. FBG 센서를 활용한 전차선 모니터링 시스템으로 측정한 온도의 변화.

Fig. 5. Temperature variation which are measured from contact line monitoring system with FBG sensor.

co, 63 IR thermometer)를 통해 최고점에서의 온도가 70 °C임을 확인할 수 있었다. 모형 전차선의 온도변화는 가열시와 냉각시에 다른 형태를 나타냄을 확인 할 수 있었다. 즉 가열시엔 고온에서 느리게 온도가 증가하지만 냉각시엔 고온에서 급격히 온도가 하강하고 저온에선 서서히 냉각되는 것을 확인할 수 있었다. FBG 센서는 상온에서 1554.89 nm의 파장값을 유지하다가 70 °C에서 1555.89 nm까지 변화 하였다가, 서서히 냉각되면서 기본 파장값으로 되돌아 왔다.

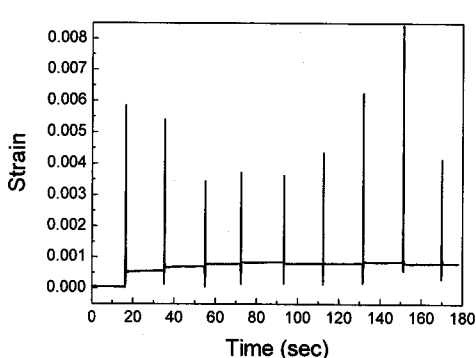


그림 4. 전차선 모니터링 시스템으로 측정한 스트레인 변화.

Fig. 4. Strain variation which are measured from contact line monitoring system.

4. 결 론

본 연구에서는 전차선로의 실시간 검측시스템 개발을 위해 구성한 FBG 센서를 활용한 모니터링 시스템에 관하여 기술하였다. FBG 센서는 손쉽게 전차선로에 직렬 또는 병렬로 부착이 가능하고 전기적으로 절연되어 있으며 센서로부터 수십 킬로미터의 거리에서 측정 가능한 센서이기에 고속 철도의 실시간 측정이 가능하다. 빠른 속도로 데이터가 처리 가능하며 측정범위가 광범위하기 때문에 실제 선로의 미세한 변화와 사고를 신속히 모니터링 가능하다는 장점을 가진다. 본 연구에서 FBG 센서는 스트레인의 변화와 온도변화에 민감하게 반응하였으며, 이러한 시스템은 향후 실제 고속철의 실시간 모니터링 시스템에 충분히 사용 가능하리라 기대된다.

감사의 글

본 연구는 건설교통부 도시철도표준화2단계연구 개발사업의 연구비지원 (07도시철도표준화A01)에 의해 수행되었습니다.

참고 문헌

- [1] 한봉석, “한국전기철도의 현황과 발전전략”, 철도웹진, 56호, 2005.
- [2] 나해경, 박영, 조용현, 이기원, 박현준, 오수영, 송준태, “실시간 계측시스템을 이용한 전차선로 특성 측정”, 전기전자재료학회논문지, 20권 3호, p. 281, 2007.
- [3] 박영, 조용현, 정호성, 이기원, 김형철, 권삼영, 박현준, 김원하, “전기철도의 전차선로 형상검출을 위한 광학기반 검출 장치 구현”, 전기전자재료학회논문지, 21권, 9호, p. 868, 2008.
- [4] S. Borromeo and J. L. Aparicio, “Automatic system for wear measurement of contact wire in railways”, IECON 02, Vol. 4, p. 2700, 2002.
- [5] F. Kiessling, R. Puschmann, and A. Schmieder, “Contact Lines for Electric Railways”, Wiley-VCH, 2002.
- [6] N. Theune, T. Bosselmann, M. Willsch, and R. Puschmann, “Online catenary temperature monitoring at new high-speed rail line Cologne-Rhine/Main”, WCRR' 2003, 185, 2003.
- [7] 서승일, 박춘수, 조용현, 목진용, 강부병, “고속 전철 집전장치의 성능 계측 결과 및 분석”, 한국 철도학회 2003춘계학술대회논문집, p. 574, 2003.
- [8] A. D. Kersey, M. A. Davis, H. J. Patrick, M. LeBlanc, and K. P. Koo, “Fiber grating sensors”, Journal of Lightwave Technology, Vol. 15, p. 1442, 1997.
- [9] W. W. Morey, G. Meltz, and W. H. Glenn, “Fiber Bragg grating sensors”, in Proc. SPIE Fiber Optic & Laser Sensors VII, Vol. 1169, p. 98, 1989.